

Zeitschrift: Eclogae Geologicae Helvetiae
Herausgeber: Schweizerische Geologische Gesellschaft
Band: 70 (1977)
Heft: 1

Artikel: Les Foraminifères planctoniques de la limite mio-pliocène dans les environs de Rabat (Maroc)
Autor: [s.n.]
Anhang: Planches
DOI: <https://doi.org/10.5169/seals-164619>

Nutzungsbedingungen

Die ETH-Bibliothek ist die Anbieterin der digitalisierten Zeitschriften. Sie besitzt keine Urheberrechte an den Zeitschriften und ist nicht verantwortlich für deren Inhalte. Die Rechte liegen in der Regel bei den Herausgebern beziehungsweise den externen Rechteinhabern. Siehe Rechtliche Hinweise.

Conditions d'utilisation

L'ETH Library est le fournisseur des revues numérisées. Elle ne détient aucun droit d'auteur sur les revues et n'est pas responsable de leur contenu. En règle générale, les droits sont détenus par les éditeurs ou les détenteurs de droits externes. Voir Informations légales.

Terms of use

The ETH Library is the provider of the digitised journals. It does not own any copyrights to the journals and is not responsible for their content. The rights usually lie with the publishers or the external rights holders. See Legal notice.

Download PDF: 17.03.2025

ETH-Bibliothek Zürich, E-Periodica, <https://www.e-periodica.ch>

Planche 1

u=vue ombilicale, *p*=vue latérale ou profil, *s*=vue spirale.

Toutes les figures sont à la même échelle.

- Fig. 1 *Globoquadrina altispira* (CUSHMAN & JARVIS), BD 76.
Fig. 2 *Globorotalia miotumida explicationis* JENKINS, BD 75.
Fig. 3 *Globorotalia acostaensis acostaensis* BLOW, BD 77.
Fig. 4 *Globorotalia humerosa* TAKAYANAGI & SAITO, BD 96.
Fig. 5 *Globorotalia dutertrei* (D'ORB.), BD 94.
Fig. 6 *Globorotalia pseudopachyderma* CITA, PREMOLI-SILVA & ROSSI, BD 97.
Fig. 7 *Globorotalia galavalae* PERCONIG, BD 72.
Fig. 8 *Globigerina* aff. *conglomerata* SCHWAGER, BD 97.
Fig. 9 *Globorotalia merotumida* BLOW & BANNER, BD 70.
Fig. 10-11 *Globorotalia miotumida conoidea* WALTERS, petites formes, BD 96, BD 74.
Fig. 12 *Globorotalia miotumida conomiozea* KENNEDY, à dernière loge cassée, BD 72.

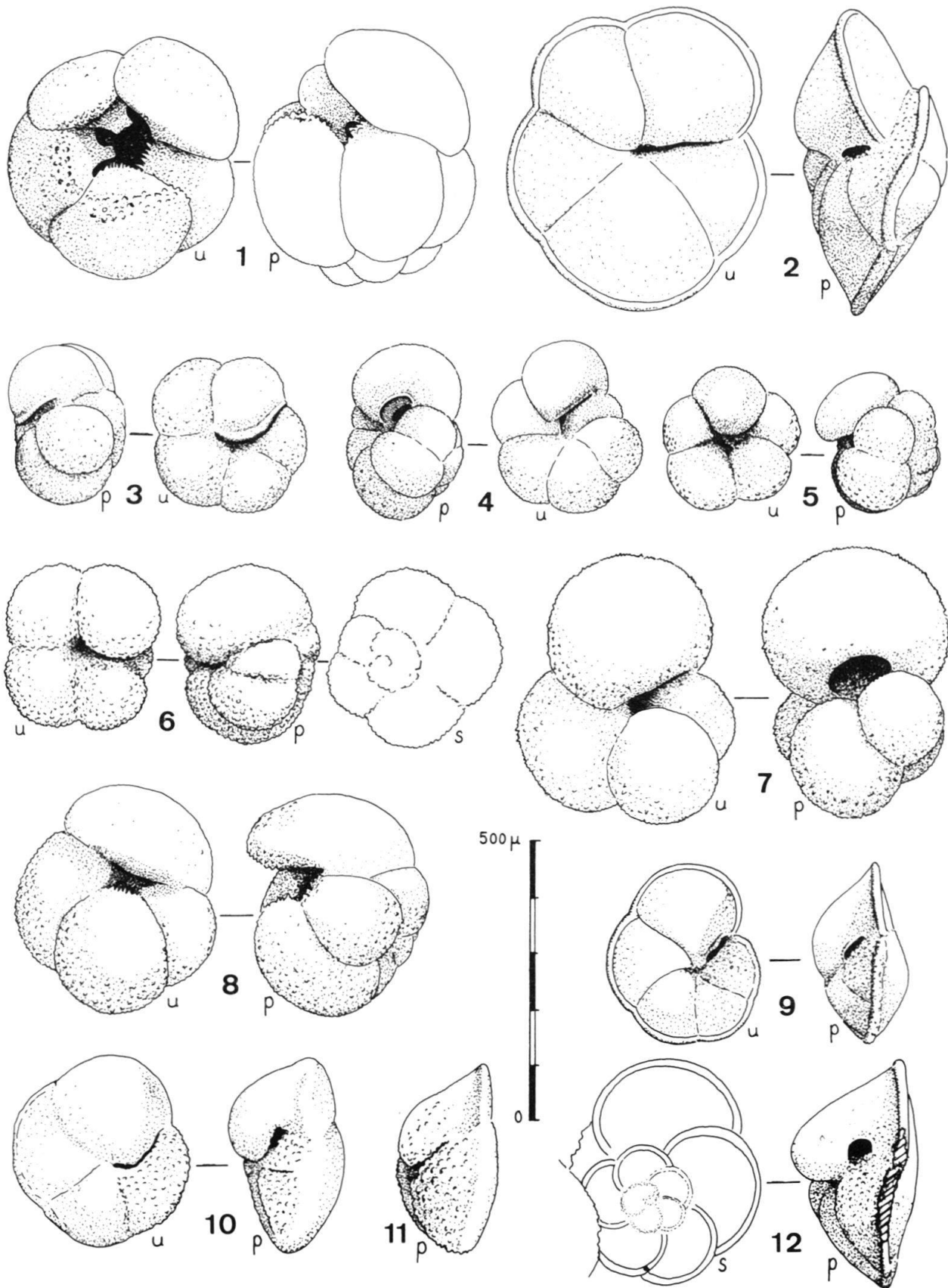


Planche 2

u = vue ombilicale, *p* = vue latérale ou profil, *s* = vue spirale.

Toutes les figures sont à la même échelle.

- Fig. 1 *Globorotalia miotumida conoidea* WALTERS, dont le cortex de la dernière loge est cassé.
On peut imaginer le test non enrobé et le comparer à la figure 2.
- Fig. 2 *Globorotalia miotumida miotumida* JENKINS, typique, BD74.
- Fig. 3 *Globorotalia miotumida conoidea* WALTERS, BD74.
- Fig. 4 *Globorotalia miotumida miotumida* JENKINS, BD74, atypique à profil symétriquement biconvexe. En vues ombilicale et spirale, identique aux figures 2*u* et 2*s*.
- Fig. 5 *Globorotalia multicamerata* CUSHMAN & JARVIS, BD96, peu mature.
- Fig. 6 *Globorotalia miotumida miotumida* JENKINS, BD74, variant extrême à face spirale fortement convexe. En vues ombilicale et spirale, identique aux figures 2*u* et 2*s*.
- Fig. 7-8 *Globorotalia pseudomiocenica* BOLLI & BERMUDEZ, BD 94, BD 95.

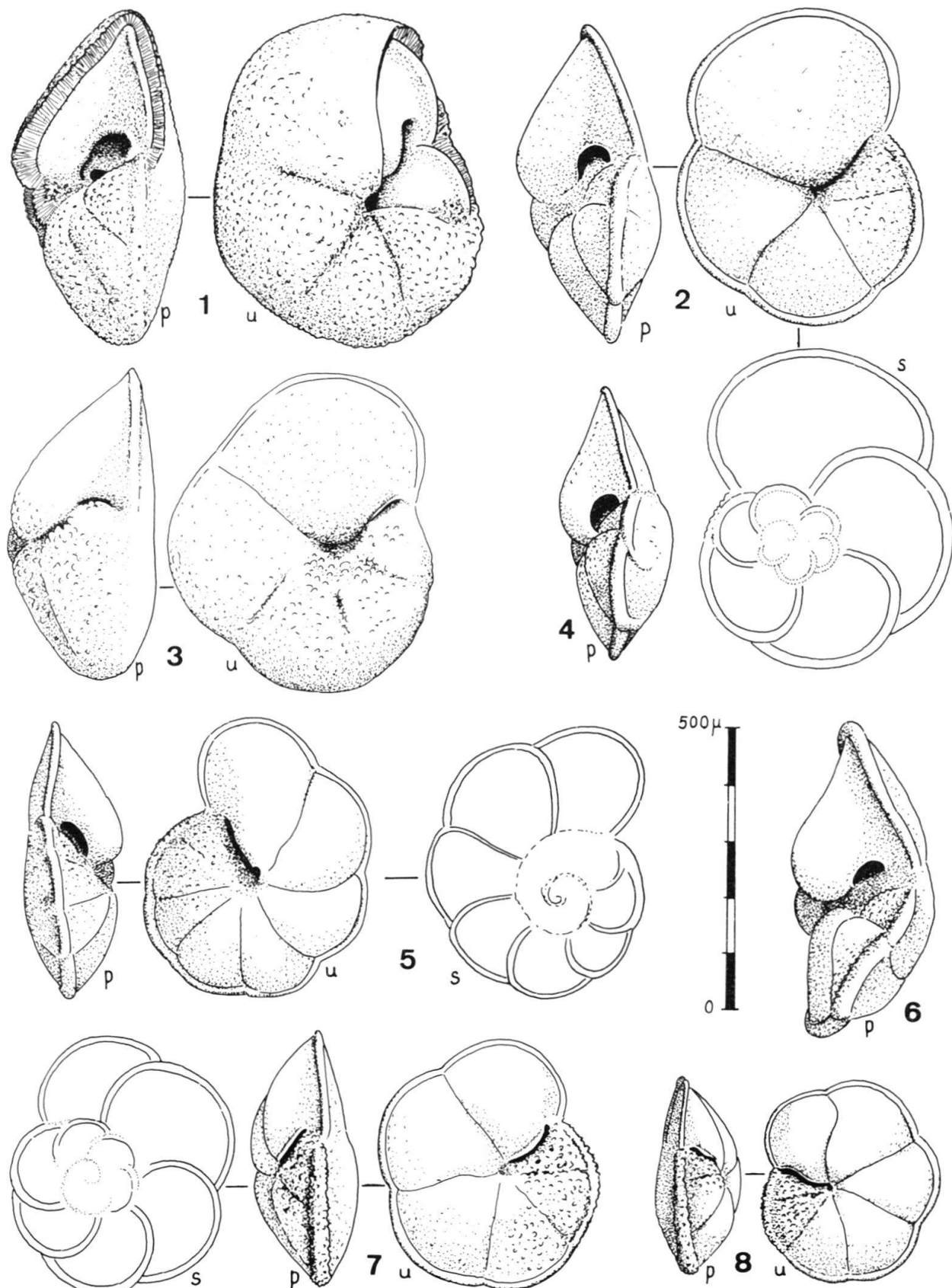


Planche 3

u = vue ombilicale, *p* = vue latérale ou profil, *s* = vue spirale.

Toutes les figures sont à la même échelle.

- Fig. 1-3 *Globorotalia plesiotumida* BLOW & BANNER, BD94, BD96, BD72.
- Fig. 4 *Globorotalia pseudomiocenica* BOLLI & BERMUDEZ, BD72. Vues ombilicale et spirale similaires aux figures 7*u* et 7*s*, planche 2.
- Fig. 5 *Globorotalia* aff. *pseudomiocenica* BOLLI & BERMUDEZ, BD72, forme de transition entre *G. pseudomiocenica* et *G. miocenica* PALMER.
- Fig. 6 *Globorotalia* aff. *exilis* BLOW, BD96.
- Fig. 7 *Globorotalia menardii* (PARKER, JONES & BRADY) (= *G. cultrata cultrata* auct.), BD73.

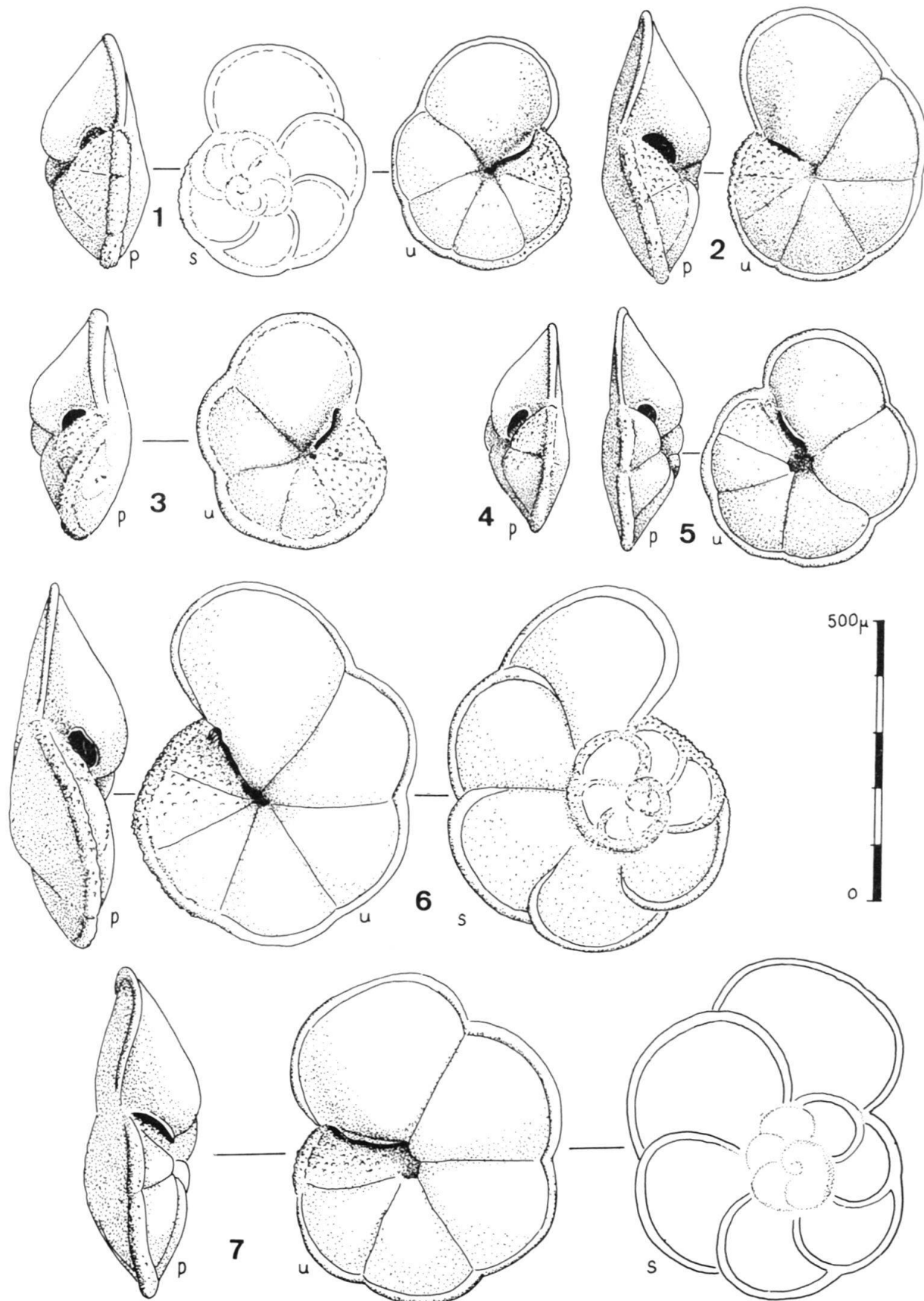


Planche 4

u = vue ombilicale, *p* = vue latérale ou profil, *s* = vue spirale.

Toutes les figures sont à la même échelle.

Fig. 1

Globorotalia multicamerata CUSHMAN & JARVIS, BD73.

Fig. 2, 4, 5

Globorotalia nicolae CATALANO & SPROVIERI. - Fig. 2 = individu peu mature à 4 loges au dernier tour, BD284. - Fig. 4 = individu typique, BD98. - Fig. 5 = individu peu mature sans apex spiral, BD98.

Fig. 3

Globorotalia aff. hemisphaerica BIZON & BIZON, BD73.

Fig. 6

Globigerina nepenthes delicatula BRÖNNIMANN & RESIG, BD75.

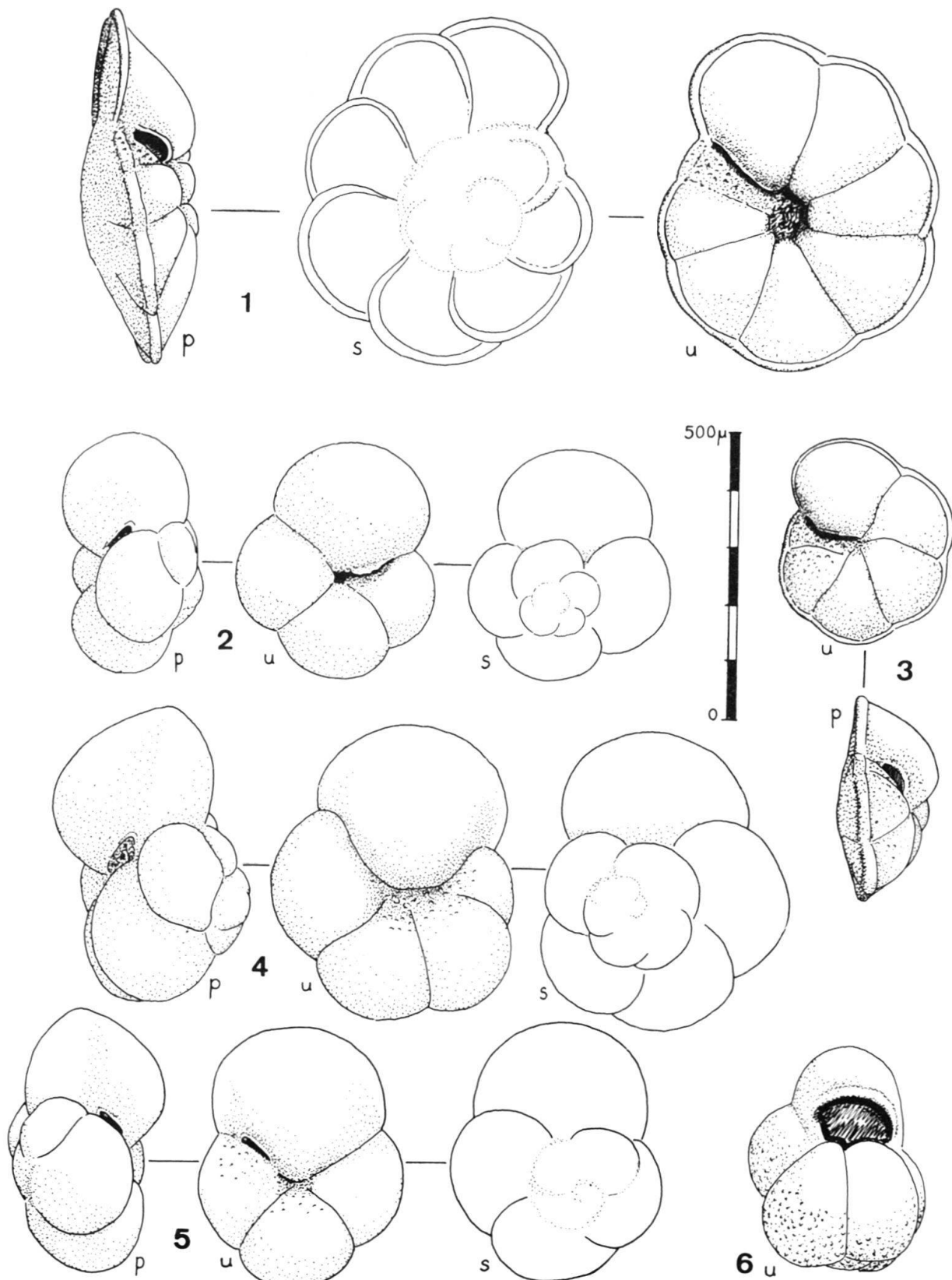


Planche 5

Pour des raisons de place, il n'a pas été possible de figurer les trois faces de chaque test. A chaque niveau, pour un phylum donné, la vue ombilicale dessinée est aussi valable, à quelques détails près, pour les autres individus. Ainsi, par exemple, les individus des figures 43–46 possèdent la même face ombilicale que l'individu de la figure 47. Tous les individus appartenant au genre *Globorotalia*, seuls les noms d'espèces sont donnés.

Fig. 1–3: *scitula gigantea*. – Fig. 4–6: aff. *scitula*. – Fig. 7: *praemargaritae*. – Fig. 8–9: *scitula gigantea*. – Fig. 10–11: aff. *scitula*. – Fig. 12: *praemargaritae*. – Fig. 13: *suterae*. – Fig. 14–16: aff. *scitula*. – Fig. 17: *scitula gigantea*. – Fig. 18: *suterae*. – Fig. 19: interm. *suterae-nicolae*. – Fig. 20: *praemargaritae?* – Fig. 21–22: aff. *scitula*. – Fig. 23: interm. *praemargaritae-primitiva*. – Fig. 24: sp. ind. n° 73/18. – Fig. 25: *scitula gigantea*. – Fig. 26: *praemargaritae-nicolae*. – Fig. 27–29: *primitiva*. – Fig. 30: *scitula gigantea*. – Fig. 31–32: G.sp. – Fig. 33: *primitiva* (juv.). – Fig. 34: *scitula gigantea*. – Fig. 35: interm. *suterae-nicolae*. – Fig. 36–38: *nicolae*. – Fig. 39: *praemargaritae*. – Fig. 40: *primitiva*. – Fig. 41–42: sp. ind. n° 73/18. – Fig. 43–47: aff. *primitiva*. – Fig. 48: *scitula gigantea*. – Fig. 49: *nicolae*. – Fig. 50–52: *nicolae* avec dernière loge «*pseudocarénée*». – Fig. 53–54: *primitiva*. – Fig. 55: *scitula gigantea*. – Fig. 56–58: *nicolae*. – Fig. 59: *primitiva* typique. – Fig. 60: *margaritae* atypique. – Fig. 61: sp. ind. n° 73/18. – Fig. 62: *nicolae*. – Fig. 63: *nicolae* à dernière loge sénile «*pseudocarénée*». – Fig. 64–67: *margaritae?* – Fig. 68–69: *suterae*. – Fig. 70–71: *margaritae margaritae*.

suite de ce tableau, voir bas de la planche 6

Coupe de l'Oued Akrech: Distribution stratigraphique de *Globorotalia scitula*, *gigantea*, *suterae*, *praemargaritae*, *primitiva*, *margaritae*, *nicolae* et formes affines

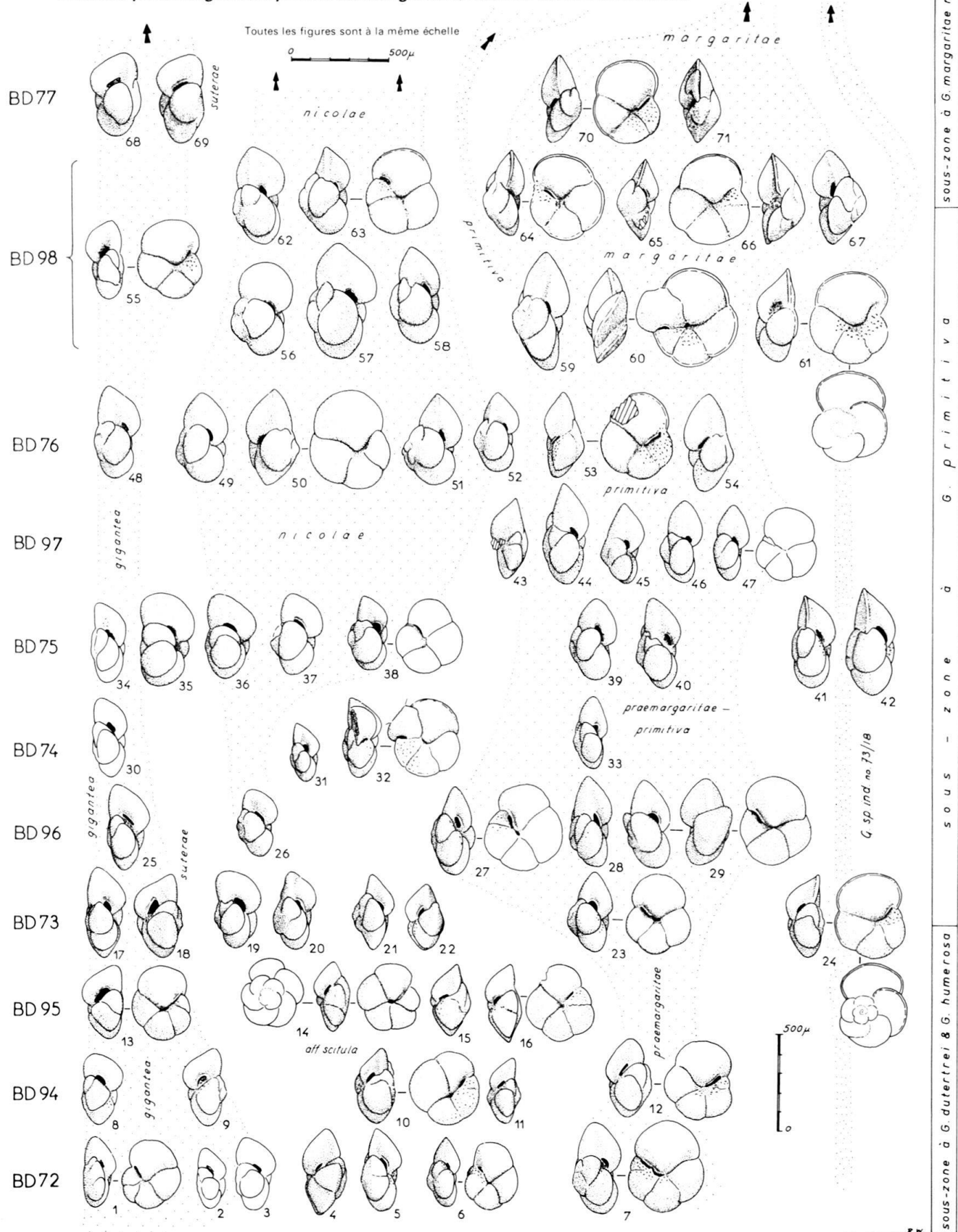


Planche 6

Voir note légende, planche 5

Fig. 1: *scitula scitula*. - Fig. 2: *scitula* ssp. - Fig. 3-6: *nicolae*. - Fig. 7: *primitiva* peu typique. - Fig. 8: *G.* sp. - Fig. 9: *primitiva* (juv.). - Fig. 10: *G.* sp. - Fig. 11-12: *primitiva* (juv.). - Fig. 13: *G.* sp. - Fig. 14: *margaritae margaritae*. - Fig. 15: *margaritae margaritae* à dernière loge sénile. - Fig. 16: *primitiva*. - Fig. 17-18: interm. *primitiva-margaritae*. - Fig. 19: *primitiva* typique. - Fig. 20: *margaritae margaritae* typique. - Fig. 21: *margaritae margaritae*. - Fig. 22: *primitiva* typique. - Fig. 23-24: *margaritae?* - Fig. 25: *margaritae margaritae* évoluée. - Fig. 26: *margaritae?* - Fig. 27: *margaritae* (pathol.). - Fig. 28: interm. *primitiva-margaritae*. - Fig. 29-31: *margaritae margaritae*, symétriquement biconvexe, plano-convexe, concavo-convexe. - Fig. 32: *G.* sp. ind. n° 73/18. - Fig. 33-35: *margaritae margaritae*. - Fig. 36: *margaritae evoluta*.

Coupe «passage du Sultan»

(BD 287, BD 286, BD 285)
et

Coupe «tranchée romaine»

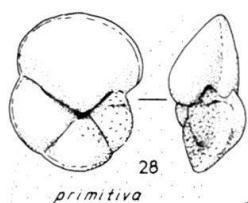
(BD 282, BD 283, BD 284)

Distribution stratigraphique de
Globorotalia scitula, *gigantea*,
nicolae, *primitiva*, *margaritae*,
evoluta et formes affines

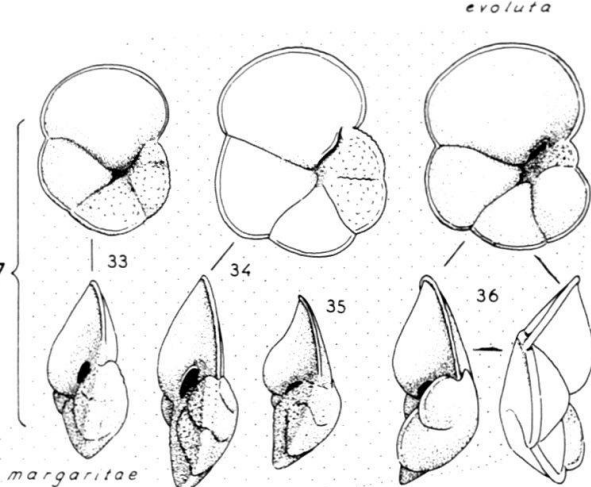
Toutes les figures sont à la même échelle

0 500 μ

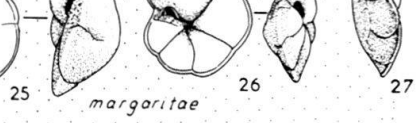
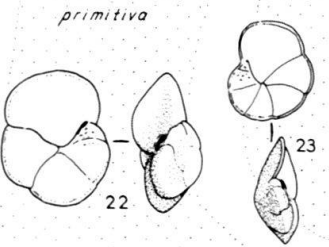
BD 286



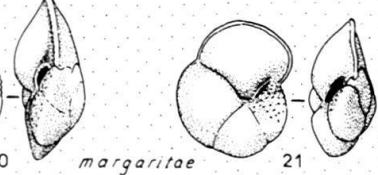
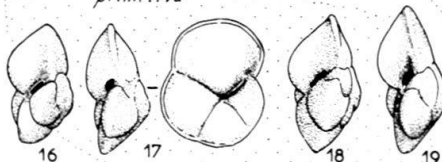
BD 287



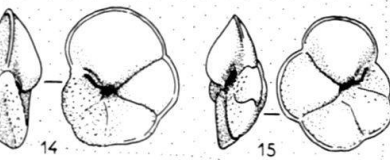
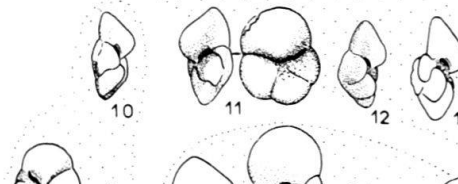
BD 285



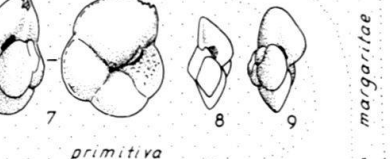
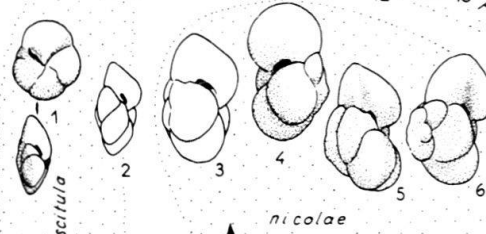
BD 282



BD 283



BD 284



sous-zone à *G. margaritae evoluta*

sous-zone à *G. margaritae marginata*

C. sp. ind. no 75/8

suite de ce tableau, voir haut de la planche 5

Distribution verticale des espèces

Coupe synthétique des marnes grises

